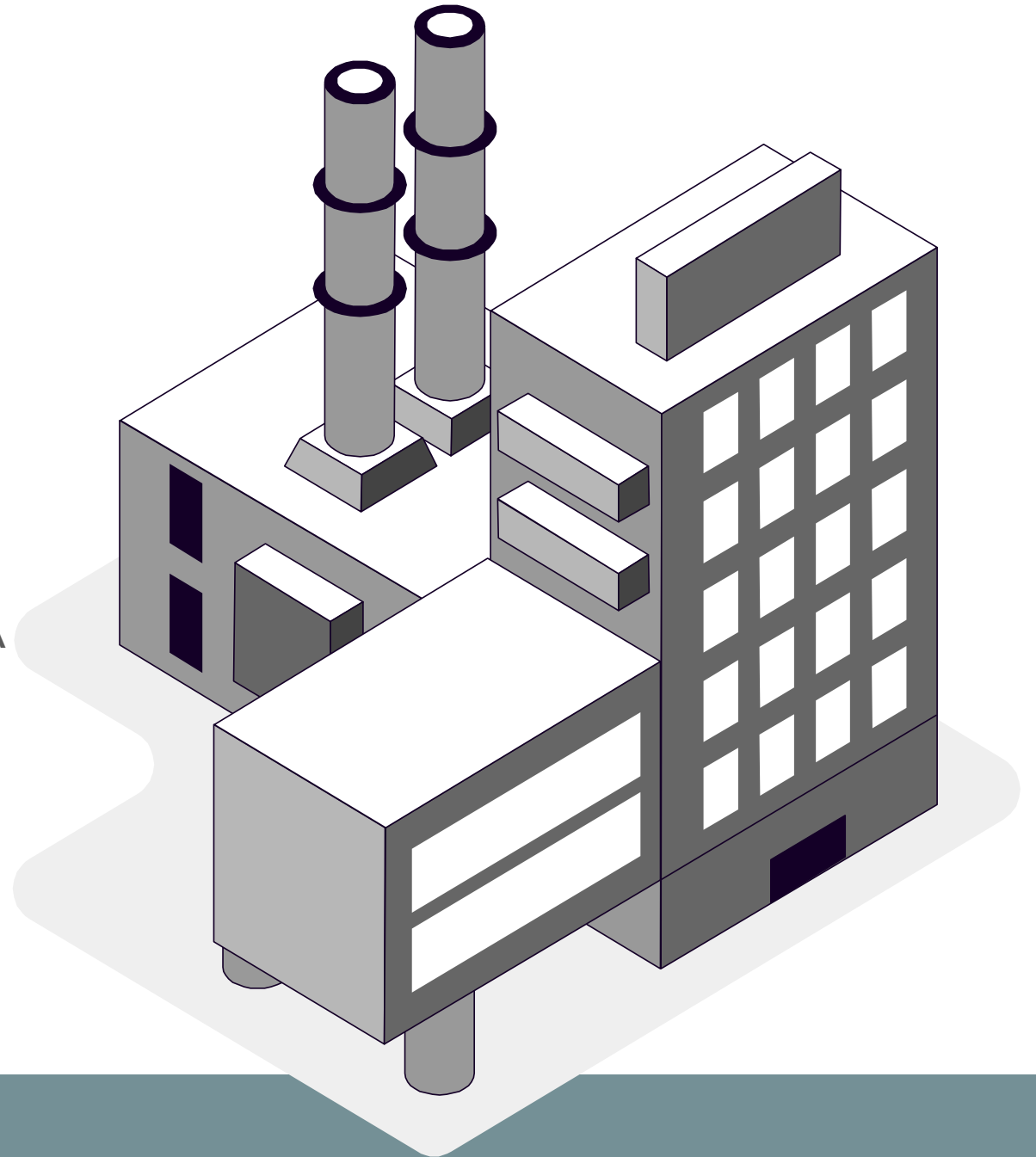


OPERAÇÕES UNITÁRIAS I

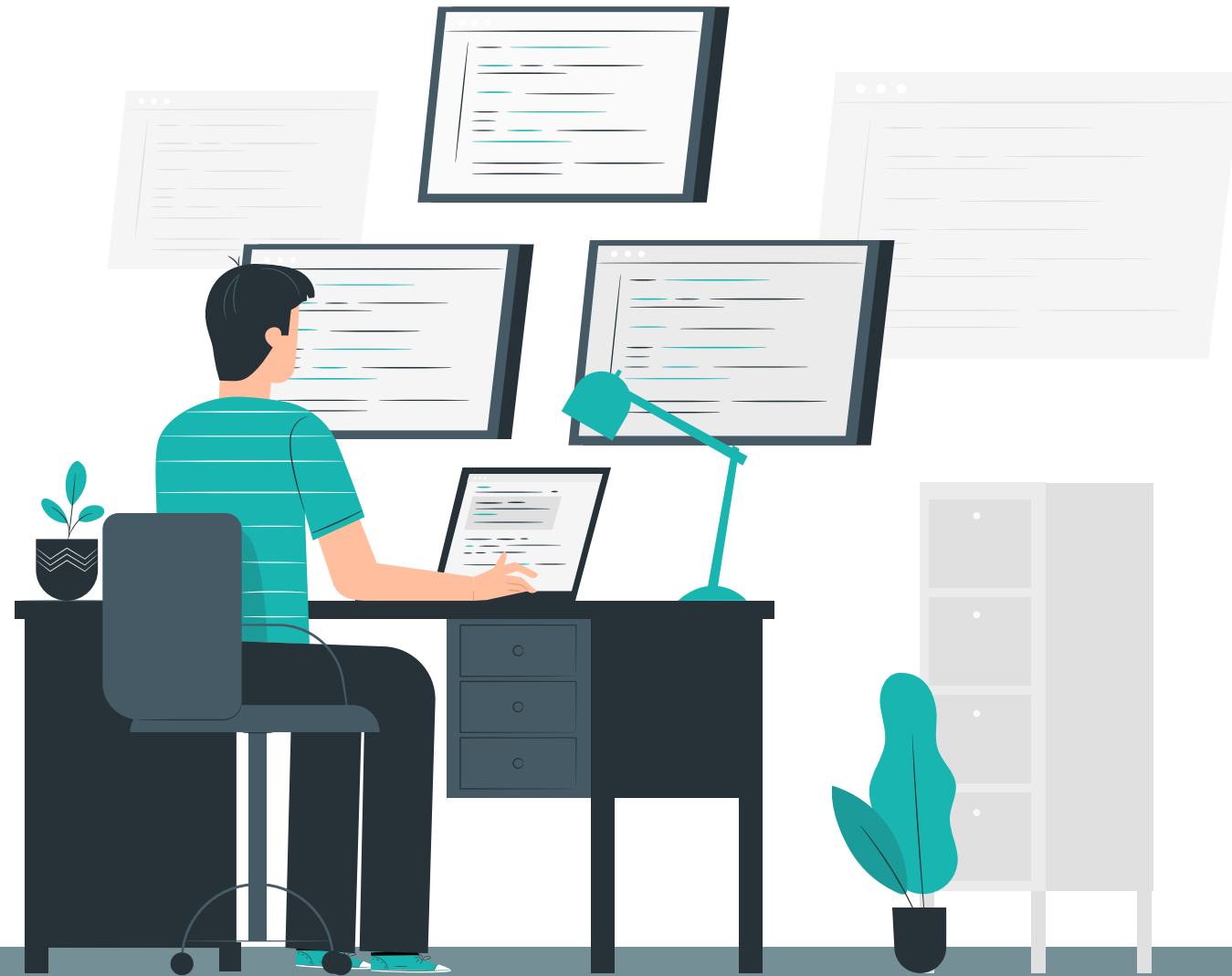
PROFª KASSIA G SANTOS
DEPARTAMENTO DE ENGENHARIA QUÍMICA
UFTM



AULA 8

3. Dinâmica da partícula (parte 1)

3.1 Movimento de partícula isolada no campo gravitacional



A Dinâmica da Partícula Isolada

O conhecimento da trajetória das partículas é essencial para o entendimento e projeto de separadores sólido-fluido.

Segundo a Lei do Movimento de Newton, o somatório das forças atuantes sobre a partícula é que determina sua taxa de variação de quantidade de movimento.

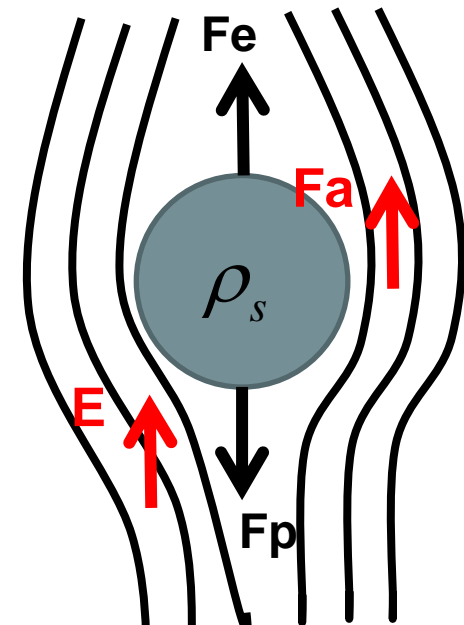
Além do empuxo e da força peso (devido ao campo gravitacional), há ainda o efeito da força resistiva que o fluido exerce sobre a partícula.

A força resistiva depende do campo de velocidade do fluido, do contorno da partícula e também da presença de outras partículas na vizinhança.

Assim, temos o balanço de forças na partícula :

$$m \frac{dv}{dt} = \underbrace{(\rho_s - \rho) V \cdot b}_{\text{Empuxo e força peso}} + F_a$$

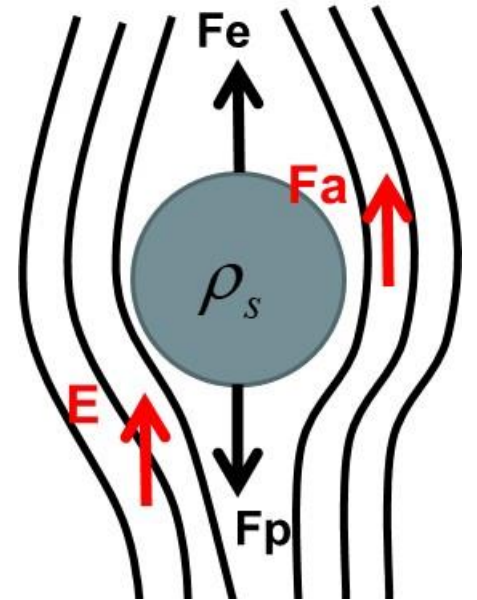
Força resistiva ou força de arraste



A Dinâmica da Partícula Isolada

Hipóteses

- a) A partícula apresenta um certo grau de uniformidade
- b) A posição relativa fluido-partícula não afeta o valor de F_a
- c) F_a tem a direção da velocidade relativa ($u-v$)
- d) Fluido Newtoniano
- e) Partículas isoladas (não são considerados os efeitos de parede (diâmetro do sistema \gg diâmetro da partícula) e concentração (sistema diluído, uma partícula não interage com a outra))
- f) Aceleração nula



A Dinâmica da Partícula Isolada

Qualquer força de resistência a um escoamento pode ser expressa pelo produto de uma área por uma energia cinética por unidade de volume e por um fator de resistência ao escoamento:

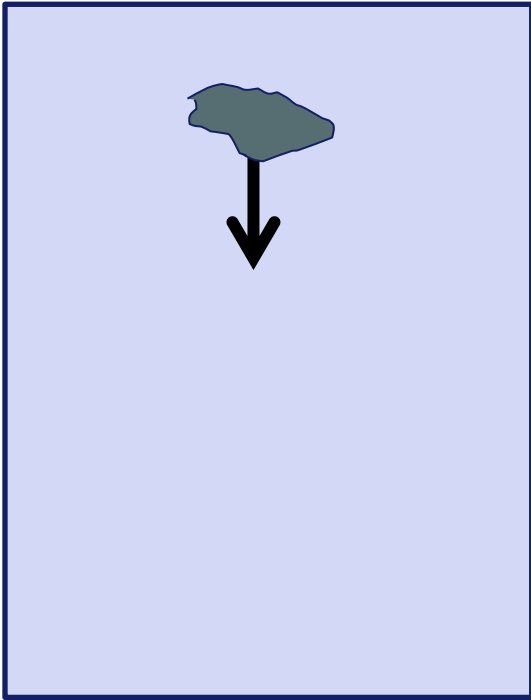
$$\Delta P = \frac{F_a}{A} = \frac{1}{2} \rho u^2 f \rightarrow F_a = \frac{A}{2} \rho u^2 f$$
$$F_a = \frac{A \rho \|u - v\|^2}{2} \frac{C_D (u - v)}{\|u - v\|} = \frac{A}{2} \rho \|u - v\| C_D (u - v)$$

Coeficiente de arraste
↓

Um grande nº de experiências conduzidas com partículas regulares e irregulares indicam que:

$$C_D = C_D(\text{Re}, \phi) \text{ para } \text{Re} = \frac{d_p \|u - v\| \rho}{\mu}$$

Seja a queda livre de uma partícula no campo gravitacional, atinge-se o regime permanente com a velocidade terminal, v_t .



Segundo a lei do movimento de Newton
(Equação do movimento da partícula)

$$m \frac{dv}{dt} = (\rho_s - \rho) V \cdot \underset{\sim}{b} + F_a$$

$$m \cancel{\frac{dv}{dt}} = (\rho_s - \rho) V \cdot \underset{\sim}{b} + \frac{A}{2} \rho \parallel \cancel{u} - v \parallel C_D (\cancel{u} - v)$$

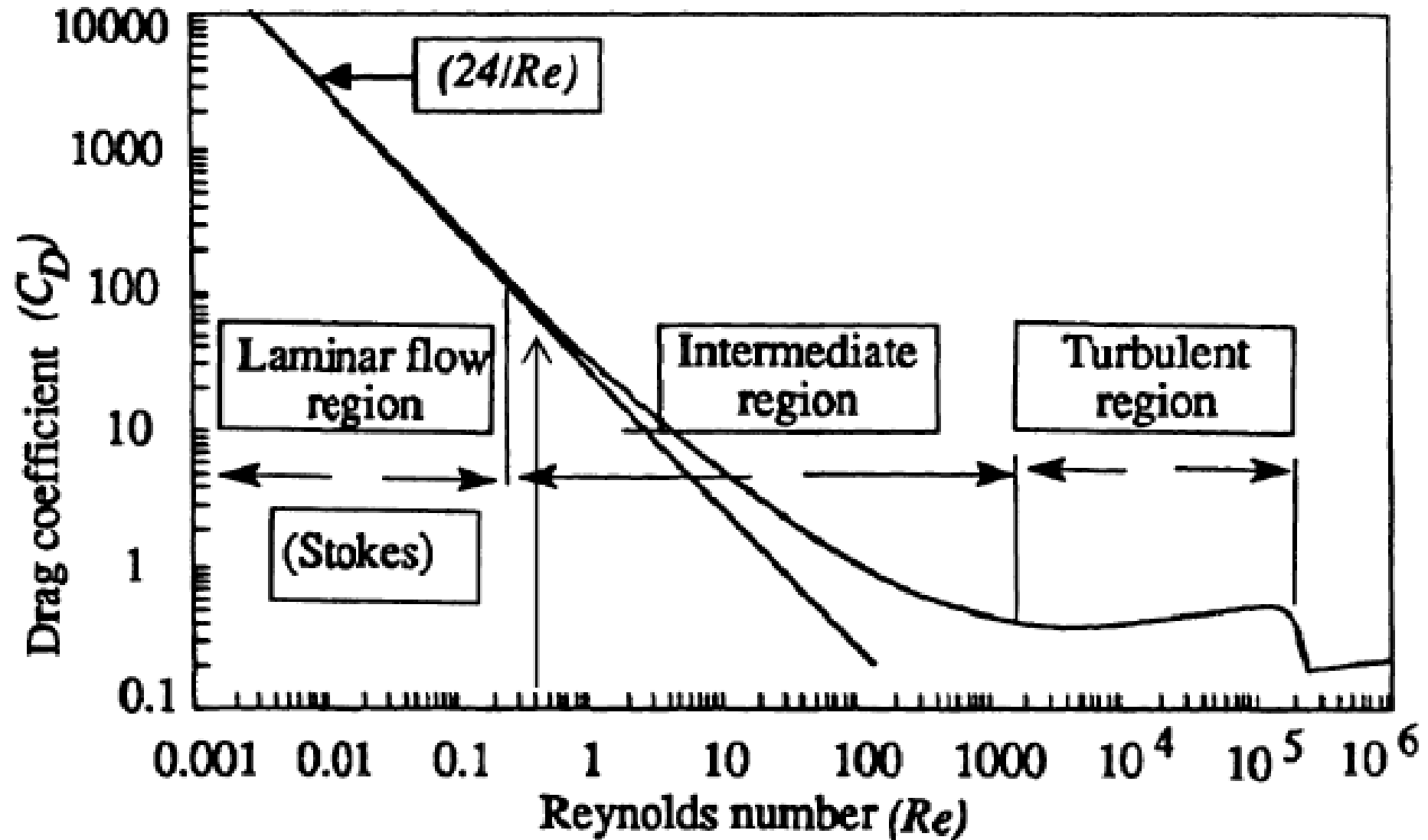
Fluido estagnado

$$0 = (\rho_s - \rho) V g + \frac{A}{2} \rho \parallel 0 - v_t \parallel C_D (0 - v_t)$$

mas $V = \frac{\pi d_p^3}{6}$ e $A = \frac{\pi d_p^2}{4}$ (área projetada da esfera)

$$0 = (\rho_s - \rho) g \frac{\pi d_p^3}{6} - \frac{\pi d_p^2}{4} \frac{\rho v_t^2 C_D}{2} \rightarrow C_D = \frac{4(\rho_s - \rho) d_p g}{3 \rho v_t^2}$$

Conhecidos ρ_s, ρ e d_p , ao medirmos v_t obteremos C_D .



Ref: Pettyjohn, E.S. e Christiansen, E.B., "Effect of Particle Shape on Free-Settling Rates of Isometric Particles", chem. Eng. Progress, 44,2,157, 1948.

Correlações para Dinâmica da Partícula no Campo gravitacional

⊗ No regime de Stokes ($Re < 0,5$): $C_D = \frac{24}{K_1 Re}$ ($K_1=1$ para $\phi=1$)

$$C_D = \frac{4(\rho_s - \rho)d_p g}{3 \rho v_t^2} \rightarrow C_D = \frac{24}{K_1} \frac{\mu}{d_p v_t \rho_s} = \frac{4(\rho_s - \rho)d_p g}{3 \rho v_t^2}$$

Isolando v_t :

$$v_t = \frac{K_1 d_p^2 (\rho_s - \rho) g}{18 \mu}$$

Para partícula esférica:

$$v_t = \frac{d_p^2 (\rho_s - \rho) g}{18 \mu}$$

⊗ No regime de Newton ($Re > 1000$)

$$C_D = K_2 = \frac{4(\rho_s - \rho)d_p g}{3 \rho v_t^2} \rightarrow v_t = \sqrt{\frac{4 d_p (\rho_s - \rho) g}{3 K_2 \rho}}; (\text{para } \phi=1, K_2=0,43)$$

Correlações para Dinâmica da Partícula no Campo gravitacional

⊗ Na região intermediária ($0,5 < Re < 1000$).

$$C_D Re^2 = \frac{4}{3} \frac{\rho(\rho_s - \rho) g d_p^3}{\mu^2}$$

Se d_p é dado

$$\frac{C_D}{Re} = \frac{4}{3} \frac{(\rho_s - \rho) \mu g}{\rho^2 v_t^3}$$

Se v_t é dado

Partículas Esféricas:

$$Re = \left[\left(\frac{C_D Re^2}{24} \right)^{-0,95} + \left(\frac{C_D Re^2}{0,43} \right)^{-0,95/2} \right]^{-1/(0,95)}$$
$$Re = \left[\left(\frac{24 Re}{C_D} \right)^{0,88/2} + \left(\frac{0,43 Re}{C_D} \right)^{0,88} \right]^{(0,88)^{-1}}$$



Partículas irregulares:

$$Re = \left[\left(\frac{K_1 C_D Re^2}{24} \right)^{-n} + \left(\frac{C_D Re^2}{K_2} \right)^{-0,5n} \right]^{-1/n} ; n = 1, 2$$
$$Re = \left[\left(\frac{24 Re}{K_1 C_D} \right)^{0,5n} + \left(\frac{K_2 Re}{C_D} \right)^n \right]^{1/n} ; n = 1, 3$$



Correlações para Dinâmica da Partícula no Campo gravitacional

$$Re = \left[\left(\frac{24 Re}{K_1 C_D} \right)^{0,5n} + \left(\frac{K_2 Re}{C_D} \right)^n \right]^{1/n}$$

$$0,65 < \phi \leq 1$$

$$K_1 = 0,843 \log \left(\frac{\phi}{0,065} \right)$$

$$K_2 = 5,31 - 4,88 \phi$$

$$d_{Stokes} = \sqrt{\frac{18 \mu v_t}{K_1 g (\rho_{cal} - \rho)}}$$

Variável a Ser Estimada	Regime de Stokes $Re < 0,5$	Regime de Newton $10^3 < Re < 5 \times 10^4$
c_D	$\frac{24}{K_1 Re}$	K_2
U	$\frac{(\rho_S - \rho_F) b K_1 D_p^2}{18 \mu}$	$\left[\frac{4(\rho_S - \rho_F) b D_p}{3 \rho_F K_2} \right]^{1/2}$
D_p	$\left[\frac{18 \mu U}{(\rho_S - \rho_F) b K_1} \right]^{1/2}$	$\frac{3 \rho_F K_2 U^2}{4(\rho_S - \rho_F) b}$

Cálculo da velocidade e do diâmetro da partícula (Pettyjohn & Christiansen, (1948).

EX11: Calcular a velocidade terminal de uma partícula caindo em um fluido, sabendo que:

Dados:

Partículas:

$d_p = 195 \text{ } \mu\text{m}$;

$\phi = 0,72$

$\rho_s = 2,7 \text{ g/cm}^3$

Fluido:

$\rho = 1 \text{ g/cm}^3$

$\mu = 0,9 \text{ cP}$

Se conheço d_p posso calcular v_t :

$$C_D \text{Re}^2 = \frac{4 \rho (\rho_s - \rho) g d_p^3}{3 \mu^2}$$



$$C_D \text{Re}^2 = \frac{41 \cdot (2,7 - 1) \cdot 980 \cdot (195 \cdot 10^{-4})^3}{3 (0,9 \cdot 10^{-2})^2} = 203,55$$

Chutando Regime Intermediário (partículas irregulares):

$$\text{Re} = \left[\left(\frac{K_1 C_D \text{Re}^2}{24} \right)^{-1,2} + \left(\frac{C_D \text{Re}^2}{K_2} \right)^{-0,6} \right]^{-1/1,2} = \left[\left(\frac{0,88 \cdot 203,55}{24} \right)^{-1,2} + \left(\frac{203,55}{1,8} \right)^{-0,6} \right]^{-1/1,2} = 4,90$$

$$K_1 = 0,843 \log \left(\frac{0,72}{0,065} \right) = 0,88$$

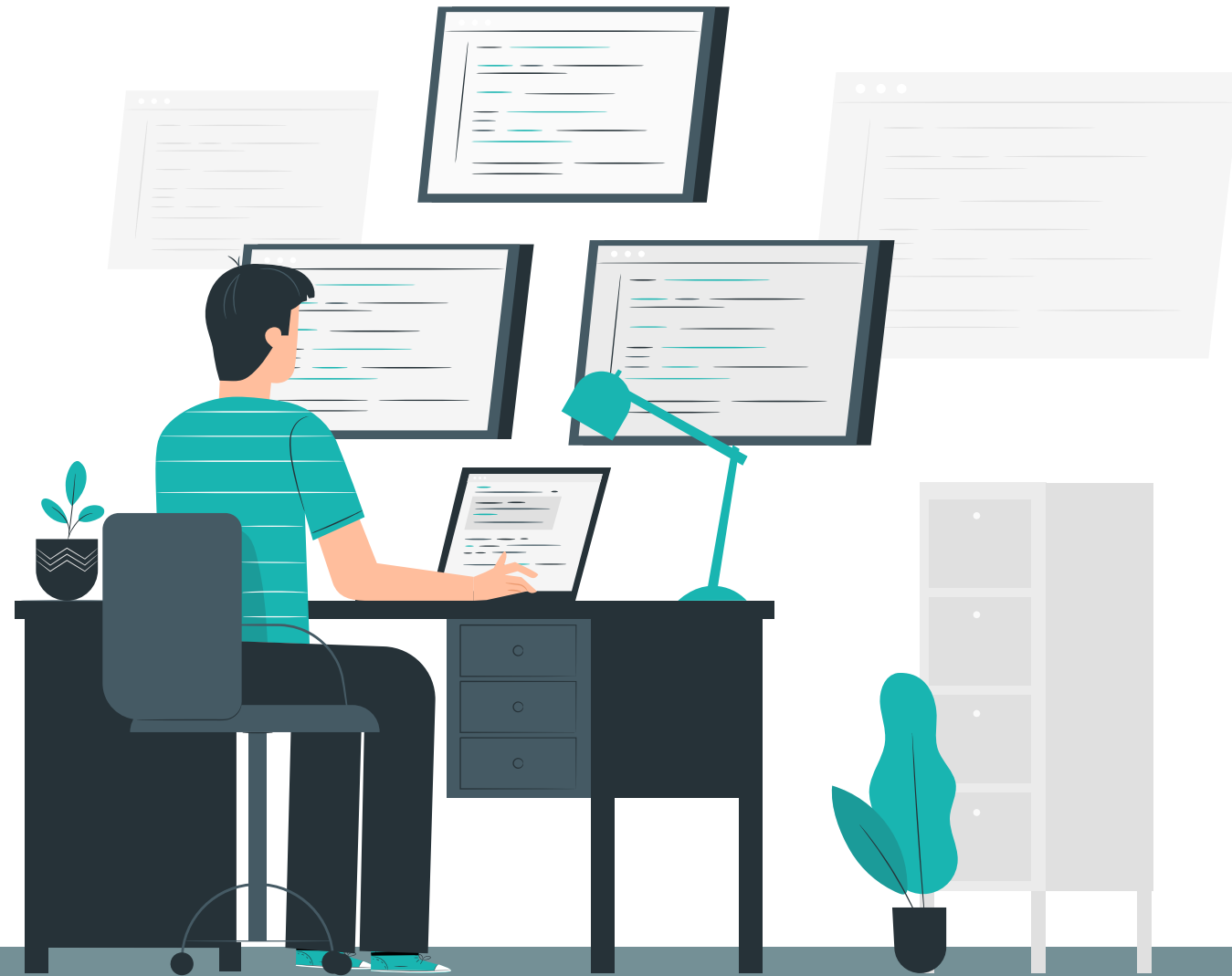
$$K_2 = 5,31 - 4,88 \cdot 0,72 = 1,8$$

$$\text{Re} = \frac{d_p v_t \rho}{\mu} = 4,9 \rightarrow v_t = 2,26 \frac{\text{cm}}{\text{s}}$$

AULA 8

3. Dinâmica da partícula (parte2)

3.2 Efeito de parede e de concentração na dinâmica da partícula



Efeito de parede sobre v_t

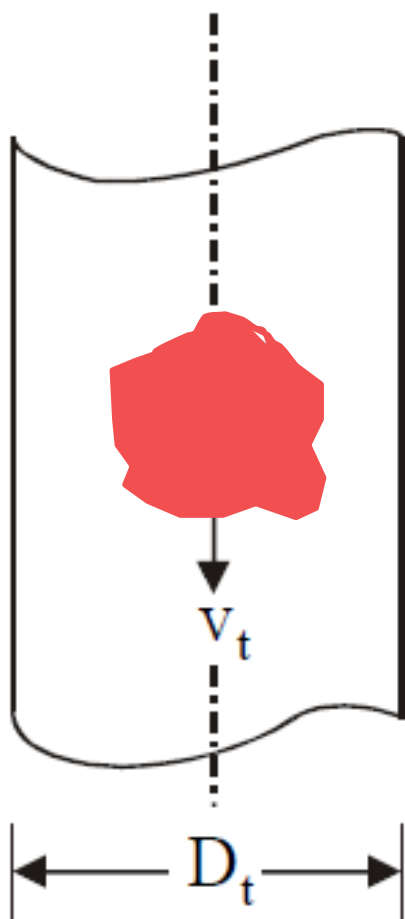


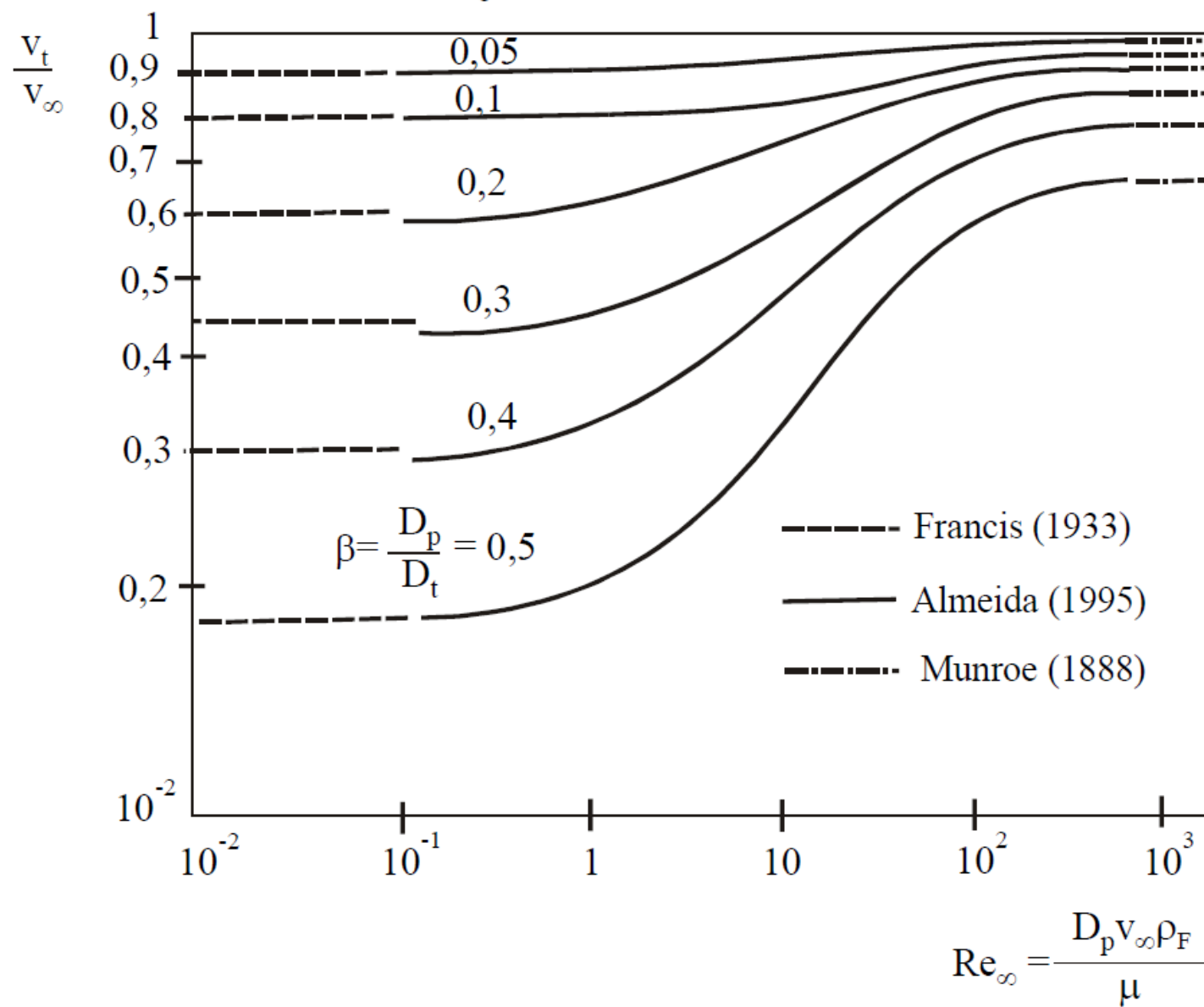
Tabela 5 - Efeito de parede na fluidodinâmica da partícula isométrica em fluido newtoniano (Almeida, 1995): $0,65 < \phi \leq 1$ e $0 < D_p / D_t \leq 0,5$.

$Re_\infty = \frac{D_p v_\infty \rho_F}{\mu}$	$k_P = \frac{v_t}{v_\infty}, \quad \beta = D_p / D_t$
$< 0,1$ (Francis, 1933)	$k_P = \left[\frac{1 - \beta}{1 - 0,475\beta} \right]^4$
$0,1 - 10^3$	$k_P = \frac{10}{1 + A Re_\infty^B}$ $A = 8,91e^{2,79\beta}, \quad B = 1,17 \times 10^{-3} - 0,281\beta$
$> 10^3$ (Munroe, 1888)	$k_P = 1 - \beta^{3/2}$

Regime	Dt/dp
Stokes	130
Newton	10

$$Re = \frac{24}{K_1} \frac{e^{3,54\beta}}{(c_D^n - K_2^n)^{1/n}}, \quad n = 0,85 \quad \text{para } Re < 35$$

Efeito de parede sobre v_t



Efeito de parede sobre v_t

Viscosímetro de Hopper



Rotâmetros de alma cônica



Efeito da concentração de partículas sobre v_t

Um grande número de dados experimentais apresentados na literatura evidencia que a velocidade terminal de uma partícula tem seu valor substancialmente reduzido pela presença de outras partículas. Esta redução, tanto mais sensível quanto maior a concentração de sólidos, é da ordem de 5% para concentrações de apenas 2%, como mostra a equação de Einstein (Govier e Aziz, 1972, p. 98).

$$v_t / v_\infty = 1 / (1 + 2,5c_V) \longrightarrow \frac{v_t}{v_{t\infty}} = f(Re_\infty, \varepsilon)$$

v_t é a velocidade terminal da partícula isolada

c_V a fração volumétrica da fase sólida na suspensão.

$$Re_\infty = \frac{D_P v_\infty \rho_F}{\mu}$$

Efeito da concentração de partículas sobre v_t

A maioria das correlações apresentadas na literatura referem-se a amostras com partículas "arredondadas", em faixa granulométrica "estreita" representada por um diâmetro médio que possivelmente não caracteriza a fluidodinâmica da suspensão.

Como consequência da caracterização incompleta do sistema particulado, as correlações da literatura podem diferir substancialmente entre si.

A. Correlação de Richardson e Zaki (1954) para partículas arredondadas:

$$U / v_{\infty} = \varepsilon^n, \quad n = n(Re_{\infty})$$

Re_{∞}	$< 0,2$	$0,2-1$	$1-500$	> 500
n	$3,65$	$4,35 Re_{\infty}^{-0,03} - 1$	$4,45 Re_{\infty}^{-0,1} - 1$	$1,39$

Efeito da concentração de partículas sobre v_t

B. Correlação de Politis e Massarani (1989) para partículas irregulares (areia, hematita, itabirito, dolomita e quartzo, $0,47 < \phi < 0,80$).

$$U / v_{\infty} = \varepsilon^{5,93 Re_{\infty}^{-0,14}}, \quad 9,5 < Re_{\infty} < 700.$$

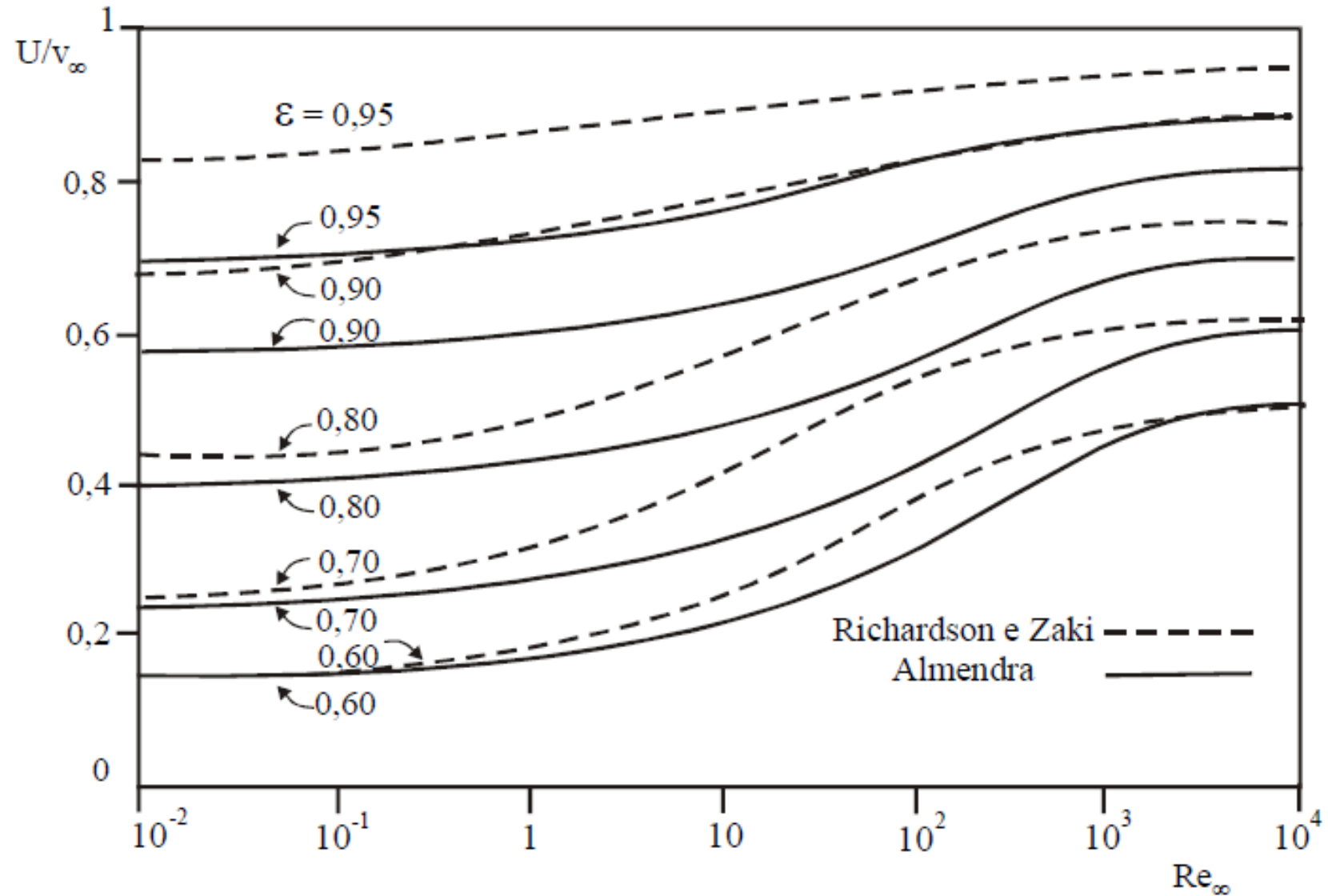
C. Correlações empíricas estabelecidas com base nos dados experimentais reunidos por Concha e Almendra (1978) (Massarani e Santana, 1994):

Regime de Stokes: $Re_{\infty} < 0,2$, $\frac{U}{v_{\infty}} = \begin{cases} 0,83\varepsilon^{3,94}, & 0,5 < \varepsilon \leq 0,9 \\ 4,8\varepsilon - 3,8, & 0,9 < \varepsilon < 1 \end{cases}$

Regime Intermediário: $1 < Re_{\infty} < 500$, $\frac{U}{v_{\infty}} = \frac{1}{1 + A Re_{\infty}^{-B}}, \quad 0,5 < \varepsilon < 0,95$
 $A = 0,28\varepsilon^{-5,96}, \quad B = 0,35 - 0,33\varepsilon$

Regime de Newton: $Re_{\infty} > 2 \times 10^3$, $\frac{U}{v_{\infty}} = 0,095 \exp(2,29\varepsilon), \quad 0,5 < \varepsilon < 0,95.$

Efeito da concentração de partículas sobre v_t



EX12: Deseja-se planejar uma experiência que consiste na medida da velocidade terminal limitando, com a escolha adequada do diâmetro do cilindro de testes, o efeito de parede a 5%. A partícula tem diâmetro 5mm . $k_p = 0,95$

Regime de Stokes : $< 0,1$
(Francis, 1933)

$$k_p = \left[\frac{1 - \beta}{1 - 0,475\beta} \right]^4 = 0,95 \rightarrow \beta = \frac{d_p}{D_t} = 0,024 \rightarrow D_t = 208mm$$

Regime de Newton: $> 10^3$
(Munroe, 1888)

$$k_p = 1 - \beta^{3/2} = 0,95 \rightarrow \beta = \frac{d_p}{D_t} = 0,1357 \rightarrow D_t = 36,84mm$$

Regime de Stokes



Regime de Newton:



O efeito da parede é bem mais agudo no regime de Stokes que no de Newton.

EX13: (EX2 Massarani, pg 32) Calcular a velocidade de sedimentação de uma suspensão de partículas (260 g sólido/L suspensão) em querosene.

Dados:

Partículas:

$d_p = 0,8 \text{ mm}$

$d_p = 0,08 \text{ cm}$;

$\phi = 0,8$

$\rho_s = 2,3 \text{ g/cm}^3$

$C = 260 \text{ g/L}$

Fluido:

$\rho = 0,9 \text{ g/cm}^3$

$\mu = 2,3 \text{ cP}$

Porosidade:?

Se conheço d_p posso calcular $v_{t\infty}$: (partícula isolada):

$$C_D \text{Re}^2 = \frac{4 \rho (\rho_s - \rho) g d_p^3}{3 \mu^2} \rightarrow C_D \text{Re}^2 = \frac{4 \cdot 0,9 \cdot (2,3 - 0,9) \cdot 980 \cdot (0,08)^3}{(0,023)^2} = 1953,5$$

Chutando Regime Intermediário (partículas irregulares):

$$\text{Re}_\infty = \left[\left(\frac{K_1 C_D \text{Re}^2}{24} \right)^{-1,2} + \left(\frac{C_D \text{Re}^2}{K_2} \right)^{-0,6} \right]^{-1/1,2} = \left[\left(\frac{0,919 \cdot 1539,5}{24} \right)^{-1,2} + \left(\frac{1593,5}{1,406} \right)^{-0,6} \right]^{-1/1,2} = 24,15$$

$$K_1 = 0,843 \log \left(\frac{0,8}{0,065} \right) = 0,919$$

$$K_2 = 5,31 - 4,88 \cdot 0,8 = 1,406$$

$$\rightarrow v_{t\infty} = 7,714 \frac{\text{cm}}{\text{s}}$$

Porosidade:

$$\varepsilon = \left(\frac{1000 \text{ cm}^3 - 260 \text{ g} / 2,3 \text{ g/cm}^3}{1000 \text{ cm}^3} \right) = 0,887$$

$$\frac{v_t}{v_{t\infty}} = \left[\frac{1}{1 - (0,28 \varepsilon^{-5,96}) \text{Re}_\infty^{-(0,35 - 0,33 \varepsilon)}} \right] = 0,677$$

$$v_t = 0,677 \cdot 7,714 = 5,22$$

Atividades da Aula 8

Individual:

- ☐ Refaça os exercícios.
- ☐ Faça Exercícios do livro Massarani deste tema.

